

关于 $D^0 \rightarrow \pi^- l^+ \nu_l$ 衰变过程的研究*

吴向尧¹ 刘晓静¹ 公丕锋² 李启朗³ 石宗华² 郭义庆⁴

1 (吉林师范大学物理学院 吉林四平 136000)

2 (曲阜师范大学物理工程学院 曲阜 273165)

3 (安徽建筑工业学院数理系 合肥 230022)

4 (中国科学院高能物理研究所 北京 100049)

摘要 用光锥 QCD 求和规则研究 $D^0 \rightarrow \pi^- l^+ \nu_l$ 衰变过程, 首先计算 $D \rightarrow \pi$ 跃迁形状因子, 通过构造新的关联函数, 消除了 twist-3 波函数的不确定性给计算结果所带来的影响, 从而使计算结果更加精确. 计算得到的分支比与最近的实验数据相一致.

关键词 光锥 QCD 求和规则 分支比 形状因子 CKM 矩阵元

1 引言

在粒子物理中, 重到轻遍举衰变过程为理解和检验标准模型提供重要基础, 因为它能提供关于 CP 破坏方面的信息, 也为我们研究超出标准模型以外的新物理打开窗口. 对所有这些问题都归结为粒子物理中最重要也是最困难的问题之一, 即计算强子矩阵元. 目前, 从 QCD 第一原理精确计算强子矩阵元是不可能的, 因此人们只能寻找各种唯象的方法来研究, 如 QCD 求和规则^[1], 手征微扰理论 (CHPT)^[2], 重夸克有效理论 (HQET)^[3] 等. 在最近的研究 B 和 D 半轻衰变过程中, 格点规范理论^[4] 用格点 QCD 方法计算 $D \rightarrow \pi l \nu_l$ 和 $D \rightarrow K l \nu_l$ 半轻衰变过程的形状因子, 最后计算的分支比与实验一致. 软共线有效理论^[5] 用于研究在整个运动学范围内 B 和 D 半轻衰变过程的形状因子. 在最近的文献^[6] 中, 用 QCD 求和规则系统的计算了 $B(D) \rightarrow K_0^* l \nu$ 半轻过程跃迁形状因子及衰变宽度, 给出 K_0^* 介子有价值的信息, 如 K_0^* 是 $s\bar{q}$ 的 0^+ 标量介子, 并具有质量 $K_0^*(1430)$. 目前, 光锥 QCD 求和规则^[7] 是研究重到轻遍举衰变过程中的最好方法之一, 被应用于研究 B 介子的半轻衰变过程^[7-9] 和非轻衰变过程^[10]. 本文进一步研究 $D \rightarrow \pi$ 半轻衰变过程中在整个运动学范围内跃迁形状因子. 研究 $D \rightarrow \pi$ 半轻过程, 抽出 CKM 矩阵元 $|V_{cd}|$. 用改进光锥 QCD 求和规

则就能自动消除 twist-3 波函数不确定性所带来的影响. 因此, 用这种方法研究 $D \rightarrow \pi$ 过程, 就能更精确地抽起 $|V_{cd}|$. 另一方面, 计算半轻衰变宽度必须知道在整个运动学范围内的形状因子, 在光锥 QCD 求和规则 (LCSR) 方法中, 动量转移只适用在低、中等能量范围, 那么, 超过此能量范围的形状因子, 采用常用极点方法进行外推而得到. 用光锥 QCD 求和规则研究 $D \rightarrow K$ 半轻衰变, 与文献^[6] 的 QCD 求和规则有类似的地方, 例如计算跃迁形状因子, 本文用光锥波函数代替文献^[6] 中的夸克凝聚. 最后计算了 $D^0 \rightarrow \pi^- l^+ \nu_l$ 衰变过程分支比, 与最近的实验结果相一致.

2 $D \rightarrow \pi$ 半轻衰变

对 $D^0 \rightarrow \pi^- l^+ \nu_l$, $l = e, \mu$ 过程, 衰变宽度与动量转移平方的关系为

$$\frac{d\Gamma}{dq^2} = \frac{G^2 |V_{cd}|^2}{24\pi^3} (E_\pi^2 - m_\pi^2)^{3/2} [f_{D\pi}^+(q^2)]^2, \quad (1)$$

其中 $E_\pi = (m_D^2 + m_\pi^2 - q^2)/2m_D$ 是 π 介子在 D 介子静止系中能量. 则衰变宽度 Γ :

$$\Gamma(D^0 \rightarrow \pi^- l^+ \nu_l) = \int_0^{(m_D - m_\pi)^2} dq^2 \frac{d\Gamma(D^0 \rightarrow \pi^- l^+ \nu_l)}{dq^2} = \frac{G^2 |V_{cd}|^2}{24\pi^3} \int_0^{(m_D - m_\pi)^2} (E_\pi^2 - m_\pi^2)^{3/2} [f_{D\pi}^+(q^2)]^2 dq^2, \quad (2)$$

2006 - 03 - 10 收稿

* 安徽省教育厅自然科学基金(2004KJ323)资助

可见, 要计算 $D^0 \rightarrow \pi^- 1^+ \nu_1$ 过程衰变宽度 Γ , 并结合实验数据抽起 $|V_{cd}|$, 必须精确计算在整个运动学范围内的形状因子, 即计算:

$$f_{D\pi}^+(q^2) \quad 0 \leq q^2 \leq (m_D - m_\pi)^2, \quad (3)$$

在 LCSR 方法中, 计算出的形状因子其动量转移范围在:

$$q^2 \leq m_c^2 - 2m_c\chi \approx 0.6\text{GeV}^2, \quad (4)$$

其中 $\chi=500\text{MeV}$. 在 $q^2 > 0.6\text{GeV}^2$ 时, 计算发现, twist-4 波函数贡献迅速增加使得 $f_{D\pi}^+(q^2)$ 与 Borel 参数 M^2 之间的稳定性丢失, 从而破坏了光锥展开, 使 LCSR 方法失效. 那么, 在 LCSR 动量转移范围之外, 即

$$m_c^2 - 2m_c\chi \leq q^2 \leq (m_D - m_\pi)^2. \quad (5)$$

采用常见的极点近似方法, 并通过外推来得到. 使极贡献来自于基态矢量介子 D^* , 用它来反映大 q^2 处的贡献.

为了确定在大动量转移 $m_c^2 - 2m_c\chi \leq q^2 \leq (m_D - m_\pi)^2$ 范围内的形状因子 $f_{D\pi}^+(q^2)$, 不能用 LCSR 方法计算, 考虑下列色散关系

$$f_{D\pi}^+(q^2) = \frac{f_{D^*} g_{D^*D\pi}}{2m_{D^*} \left(1 - \frac{q^2}{m_{D^*}^2}\right)} + \int_{\sigma_0}^{\infty} \frac{\rho(\sigma) d\sigma}{1 - \frac{q^2}{\sigma}} = F_G(q^2) + F_H(q^2), \quad (6)$$

其中 f_{D^*} 是 D^* 介子衰变常数, 定义为

$$\langle 0 | \bar{d} \gamma_\mu c | D^* \rangle = m_{D^*} f_{D^*} \varepsilon_\mu, \quad (7)$$

ε_μ 是 D^* 介子的极化矢量. $g_{D^*D\pi}$ 是 $D^*D\pi$ 强耦合常数, 定义为

$$\langle D^*(q, e) \pi(p) | D(p+q) \rangle = -g_{D^*D\pi} (p \cdot \varepsilon), \quad (8)$$

$\rho(\sigma)$ 是谱密度, σ_0 是阈参数. $F_G(q^2)$ 表示来自 D^* 介子基态的贡献, 即(6)式中的第一项. 而 $F_H(q^2)$ 描述在 D^* 道更高态的贡献.

在 $0 \leq q^2 \leq m_c^2 - 2m_c\chi$ 区域内, $f_{D\pi}^+(q^2)$ 由光锥求和得到, 即

$$f_{D\pi}^+(q^2) = f_{D\pi}^{+(\text{LCSR})}(q^2), \quad (9)$$

同时, 非微扰参量 $f_{D^*} g_{D^*D\pi}$ 也在同样框架 (LCSR) 中得到.

在 (6) 式中, 若采用单极点近似, 即

$$f_{D\pi}^+(q^2) = F_G(q^2) = \frac{f_{D^*} g_{D^*D\pi}}{2m_{D^*} \left(1 - \frac{q^2}{m_{D^*}^2}\right)}, \quad (10)$$

则计算发现, (10) 式与结果 $f_{D\pi}^{+(\text{LCSR})}(q^2)$ 有一定偏差, 这说明 (6) 式中更高态的贡献不能忽略. 因此, 还需要考虑第二极点的贡献, 即 $F_H(q^2)$ 的贡献, 这样, 就得到 $D \rightarrow \pi$ 的形状因子在整个运动学范围内的形式为

$$f_{D\pi}^+(q^2) = \frac{f_{D\pi}^+(0)}{(1 - q^2/m_{D^*}^2)(1 - \alpha_{D\pi} q^2/m_{D^*}^2)} \quad 0 \leq q^2 \leq (m_D - m_\pi)^2, \quad (11)$$

其中 $\alpha_{D\pi} = 1 - \frac{2m_{D^*} \cdot f_{D\pi}^+(0)}{f_{D^*} g_{D^*D\pi}}$ 从(10)式中可知: 要确定 $f_{D\pi}^+(q^2)$, 必须知道耦合常数 $g_{D^*D\pi}$ 和参数 m_{D^*} . 其中 m_{D^*} 参数可由 $f_{D\pi}^+(q^2)$ 在中低等能量范围内与 $f_{D\pi}^{+(\text{LCSR})}(q^2)$ 一致而定出. 可见, 首先必须用光锥 QCD 求和规则方法计算出 $f_{D\pi}^{+(\text{LCSR})}(q^2)$. 同时, 耦合常数 $g_{D^*D\pi}$ 与 $f_{D\pi}^{+(\text{LCSR})}(q^2)$ 一样, 由相同的关联函数来计算.

3 构造关联函数

$D \rightarrow \pi$ 跃迁形状因子 $f(q^2)$ 和 $\tilde{f}(q^2)$ 定义为

$$\langle \pi(p) | \bar{u} \gamma_\mu c | D(p+q) \rangle = 2f_{D\pi}^+(q^2) p_\mu + \tilde{f}_{D\pi}^+(q^2) q_\mu, \quad (12)$$

其中 q 是动量转移, 对 $D \rightarrow \pi l \bar{\nu}_l$ 过程, 当 $l = e, \mu$ 时, 由于 m_e, m_μ 质量很小, 可以忽略 $\tilde{f}_{D\pi}^+(q^2)$ 带来的贡献. 我们构造下列的手征流关联函数^[8, 9]:

$$\begin{aligned} \Pi_\mu(p, q) &= i \int d^4x e^{iqx} \langle \pi(p) | T \{ \bar{d}(x) \gamma_\mu (1 - \gamma_5) c(x), \\ &\quad \bar{c}(0) i(1 + \gamma_5) u(0) \} | 0 \rangle = F(q^2, (p+q)^2) p_\mu + \\ &\quad \tilde{F}(q^2, (p+q)^2) q_\mu \end{aligned} \quad (13)$$

在 (13) 式中分别插入两组完备中间态 $|D^H\rangle$ 和 $|D^*\rangle$ 并结合 (7), (8) 式就得到不变振幅 $F(q^2, (p+q)^2)$ 的强子表示形式

$$\begin{aligned} F^H(q^2, (p+q)^2) &= \frac{m_{D^*}^2 m_{D^*} f_{D^*} g_{D^*D\pi}}{m_c(q^2 - m_{D^*}^2)((p+q)^2 - m_D^2)} + \\ &\quad \iint \frac{\rho^h}{(s_1 - q^2)(s_2 - (p+q)^2)} ds_1 ds_2 + \\ &\quad \text{减除项}, \end{aligned} \quad (14)$$

上式中第一项中含有 $g_{D^*D\pi}$, 它来自基态贡献, 第二项是激发态和连续态的贡献, 用双重色散积分表示. 其中 $\rho^h(s_1, s_2)$ 是谱密度, 由夸克-强子二象性假设得

$$\rho^h(s_1, s_2) = \rho^{\text{QCD}}(s_1, s_2) \theta(s_1 - s_0^1) \theta(s_2 - s_0^2). \quad (15)$$

下面要在 QCD 理论中计算不变振幅 $F^{\text{QCD}}(q^2, (p+q)^2)$, 并与强子表示比较后就得到 $g_{D^*D\pi}$. 在大的类空动量区域: $q^2 \ll 0$ 和 $(p+q)^2 \ll 0$, 对应 x^2 在光锥附近 $x^2 \approx 0$. 这样可以对关联函数 (13) 式在光锥附

近展开. 通过收缩得到c夸克传播子, 考虑到高扭度贡献时应包含背景场的作用:

$$\begin{aligned} \langle 0|T\{c(x)\bar{c}(0)\}|0\rangle &= i \int \frac{d^4k}{(2\pi)^4} e^{-ikx} \frac{k+m_c}{k^2-m_c^2} - \\ &ig_s \int \frac{d^4k}{(2\pi)^4} e^{-kx} \int_0^1 dv \cdot \left[\frac{1}{2} \frac{k+m_c}{(m_c^2-k^2)^2} G^{\mu\nu}(vx) \sigma_{\mu\nu} + \right. \\ &\left. \frac{1}{m_c^2-k^2} vx_\mu G^{\mu\nu}(vx) x_\nu \right] = S^{(0)} + S^{(1)}, \end{aligned} \quad (16)$$

收缩c夸克后, 对局域算符矩阵元在 $x^2=0$ 附近展开, 由 π 介子光锥波函数表示^[9]. 经复杂计算, 得到不变振幅的QCD形式

$$\begin{aligned} F^{\text{QCD}}(q^2, (p+q)^2) &= F^{(\text{q}\bar{\text{q}})}(q^2, (p+q)^2) \times \\ F^{(\text{q}\bar{\text{q}}\text{g})}(q^2, (p+q)^2) &= 2m_c f_\pi \left\{ \int_0^1 du \left[\frac{\varphi_\pi(u)}{m_c^2 - (q+up)^2} - \right. \right. \\ &\frac{8m_c^2 [q_1(u) - G_2(u)]}{[m_c^2 - (q+up)^2]^3} + \left. \frac{2ug_2(u)}{[m_c^2 - (q+up)^2]^2} \right\} + 2m_c f_\pi \times \\ &\int_0^1 d\alpha \int D\alpha \frac{2\varphi_\perp(\alpha_i) + 2\tilde{\varphi}_\perp(\alpha_i) - \varphi_{11}(\alpha_i) - \tilde{\varphi}_{11}(\alpha_i)}{(m_c^2 - [q + (\alpha_1 + \alpha\alpha_3)p]^2)^2}, \end{aligned} \quad (17)$$

其中 $\varphi_\pi(u)$ 是 π 介子twist-2波函数, $g_1(u)$, $g_2(u)$ 是两粒子态的twist-4波函数. $\varphi_\perp(\alpha_i)$, $\tilde{\varphi}_\perp(\alpha_i)$, $\varphi_{11}(\alpha_i)$, $\tilde{\varphi}_{11}(\alpha_i)$ 是三粒子态的twist-4波函数. 在选用非手征

$$\begin{aligned} f_{\text{LC}}^+(q^2) &= \frac{m_c^2}{m_D^2 f_D} f_\pi e^{m_D^2/M^2} \left\{ \int_\Delta^1 \frac{du}{u} e^{-(m_c^2 - q^2(1-u))/uM^2} \left[\varphi_\pi(u) - \frac{4m_c^2}{u^2 M^4} g_1(u) + \frac{2}{uM^2} \int_0^u g_2(v) dv \left(1 + \frac{m_c^2 + g^2}{uM^2} \right) \right] + \right. \\ &\int_0^1 d\alpha \int D\alpha_i \frac{\theta(\beta - \Delta)}{\beta^2 M^2} e^{-(m_c^2 - q^2(1-\beta))/\beta M^2} [2\varphi_\perp(\alpha_i) + 2\tilde{\varphi}_\perp(\alpha_i) - \varphi_{11}(\alpha_i) - \tilde{\varphi}_{11}(\alpha_i)] - \\ &4m_c^2 e^{-s_0/M^2} \left[\frac{1}{(m_c^2 - q^2)} \left(1 + \frac{s_0 - q^2}{M^2} \right) g_1(\Delta) - \frac{1}{(s_0 - q^2)(m_c^2 - q^2)} \frac{dg_1(\Delta)}{du} \right] - \\ &\left. 2e^{-s_0/M^2} \left[\frac{m_c^2 + q^2}{(s_0 - q^2)(m_c^2 - q^2)} g_2(\Delta) - \frac{1}{m_c^2 - q^2} \left(1 + \frac{m_c^2 + q^2}{m_c^2 - q^2} \left(1 + \frac{s_0 - q^2}{M^2} \right) \right) \int_0^\Delta g_2(v) dv \right] \right\}, \end{aligned} \quad (19)$$

其中 $\varphi_\pi(u)$ 是 π 介子twist-2波函数, $\beta = \alpha_1 + \alpha\alpha_3$, $\Delta = \frac{(m_c^2 - q^2)}{(s_0 - q^2)}$, $D\alpha_i = d\alpha_1 d\alpha_2 d\alpha_3 \delta(1 - \alpha_1 - \alpha_2 - \alpha_3)$, $M_0^2 = M_1^2 M_2^2 / (M_1^2 + M_2^2)$.

4 数值分析

在求和规则的结果中, 有以下输入参数: c夸克质量 m_c , D夸克质量 m_D , 衰变常数 f_D 和 f_{D^*} 以及阈参数 s_0 , 它们的取值分别为 $m_c=1.3\text{GeV}$, $m_D=1.87\text{GeV}$, f_D 和 s_0 在文献[11]中给出的结果为: $f_D=0.17\text{GeV}$,

流关联函数计算时, 发现twist-3与twist-2波函数都是主要贡献的波函数. 但twist-3波函数不好确定, 因此给计算结果带来较大的不确定性. 但在所选择的手征流关联函数中twist-3波函数自然不出现, 从而改善了光锥QCD求和规则的计算结果.

对 $F^{\text{H}}(q^2, (p+q)^2)$ 和 $F^{\text{QCD}}(q^2, (p+q)^2)$ 作为对变量 q^2 和 $(p+q)^2$ 的双重Borel变换, 使 $F^{\text{QCD}}(q^2, (p+q)^2) \rightarrow \overline{F}_1^{\text{QCD}}(q^2, M^2)$, $F^{\text{QCD}}(q^2, (p+q)^2) \rightarrow \overline{F}_1^{\text{QCD}}(M_1^2, M_2^2)$ 即 M_1^2 , M_2^2 分别对应 $q^2, (p+q)^2$ 的Borel参数, 并由双重色散关系(15)式, 可得到耦合常数 $g_{D^*D\pi}$:

$$\begin{aligned} f_D f_{D^*} g_{D^*D\pi} &= \frac{2m_c^2}{m_D^2 m_{D^*}} f_\pi e^{(m_D^2 + m_{D^*}^2)/2M_0^2} \times \\ &\left\{ M_0^2 \left[e^{-m_c^2/M_0^2} - e^{-\frac{s_0}{M_0^2}} \right] \varphi_\pi\left(\frac{1}{2}\right) + e^{-m_c^2/M_0^2} \cdot \right. \\ &\left[g_2\left(\frac{1}{2}\right) - \frac{4m_c^2}{M_0^2} \left(g_1\left(\frac{1}{2}\right) - \int_0^{0.5} g_2(v) dv \right) + \right. \\ &\int_0^{0.5} d\alpha_1 \int_{0.5-\alpha_1}^{1-\alpha_1} \frac{d\alpha_3}{\alpha_3} [2\varphi_\perp(\alpha_i) + 2\tilde{\varphi}_\perp(\alpha_i) - \\ &\left. \left. \varphi_{11}(\alpha_i) - \tilde{\varphi}_{11}(\alpha_i) \right] \right\}. \end{aligned} \quad (18)$$

在同一关联函数(13)式中, 类似计算得到 $D \rightarrow \pi$ 跃迁形状因子为

$s_0=6.5\text{GeV}^2$. 对 π 介子: $f_\pi=0.132\text{GeV}$. π 介子光锥波函数取非渐近形式为

$$\begin{aligned} \varphi_\pi(u) &= 6u(1-u) \left(1 + 0.3 \times \frac{3}{2} (5(2u-1)^2 - 1) + \right. \\ &\left. 0.23 \times \frac{15}{8} (21(2u-1)^4 - 14(2u-1)^2 + 1) \right), \end{aligned} \quad (20)$$

有了输入参数, 下一步寻找Borel参数 M^2 和 M_0^2 的可置信范围. 按光锥QCD求和规则要求来找 M^2 和 M_0^2 的范围. 其要求是: (1) 对给定的阈参数 s_0 要求QCD求和结果对 M^2 的变化保持非常稳定. (2) 高扭度对

QCD 求和结果的贡献不超过 10%。(3) 连续态的贡献不超过 20%。图 1 给出(18)式中 $f_{D^*} g_{D^* D \pi}$ 与 M_0^2 的关系曲线。在 QCD 求和结果(18)式中, twist-4 波函数的贡献小于 5%, 连续态的贡献小于 13%。从图 1 可知当 $M_0^2 \geq 6\text{GeV}^2$ 时平台非常平稳, 取 $M_0^2=8\text{GeV}^2$ 时, 得到 $f_{D^*} g_{D^* D \pi}=2.56\text{GeV}$ 。图 2 是 $f_{D\pi}(q^2)$ 与 M^2 的关系曲线。在 QCD 求和结果(19)式中, twist-4 波函数的贡献小于 4%, 连续态的贡献小于 11%。在 $M^2 \geq 4\text{GeV}^2$ 时有稳定的平台, 并给出 $q^2 = 0, 0.3, 0.5\text{GeV}^2$ 时, 都出现稳定平台。取 $M^2 = 6.0\text{GeV}^2$ 时, 得到 $f_{D\pi}(0) = 0.55$ 。

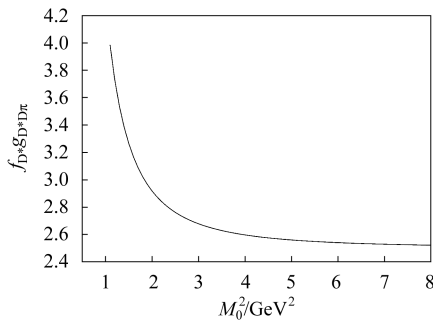


图 1 $f_{D^*} g_{D^* D \pi}$ 与 Borel 参数 M_0^2 的关系曲线在 $M^2 \geq 6.0\text{GeV}^2$ 区域出现平台。

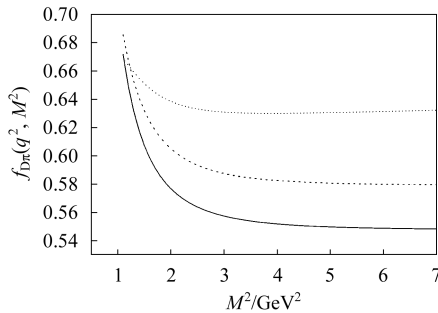


图 2 $f_{D\pi}^+(q^2, M^2)$ 与 Borel 参数 M^2 的关系曲线实线对应 $q^2=0$, 点划线对应 $q^2=0.3$, 虚线对应 $q^2=0.5$, 在 $q^2 \geq 4\text{GeV}^2$ 区域出现平台。

从图 1, 图 2 这些稳定的平台可以看出我们的计算结果是正确的, 满足 QCD 求和规则的要求。图 3 中实线对应(19)式中 $f_{D\pi}^+(q^2)$ 与 q^2 的关系曲线, q^2 的有效取值范围为 $0 \leq q^2 \leq 0.6\text{GeV}^2$ 即由光锥 QCD 求和规则计算的结果。在 $0.6 \leq q^2 \leq (m_D - m_\pi)^2 = 2.98$ 范围内, 由(11)式计算得到。其中要求(11)式中变化曲线在 $0 \leq q^2 \leq 0.6\text{GeV}^2$ 范围内与(19)式中曲线相一致, 取 $m_{D^*} = 1.92^{[11]}$ 后, 这两条曲线在 $0 \leq q^2 \leq 0.6$ 范围内吻合很好。这样在整个运动学范围内 $0 \leq q^2 \leq (m_D - m_\pi)^2$ 的 $D \rightarrow \pi$ 跃迁形状因子就由(11)式给出, 即图 3 中虚线所示。这样, 把(11)式代入(1)式即可得到 $D \rightarrow \pi$ 过程

的衰变宽度, 再由

$$Br(D^0 \rightarrow \pi^- l^+ \nu_l) = \frac{\Gamma(D^0 \rightarrow \pi^- l^+ \nu_l)}{\Gamma}, \quad (21)$$

计算 $D^0 \rightarrow \pi^- l^+ \nu_l$ 的分支比。其中 Γ 是 D^0 总的衰变宽度, 它与 D^0 寿命的关系为

$$\Gamma \cdot \tau = \hbar, \quad (22)$$

D^0 的寿命为 $\tau_{D^0} = 411.7 \times 10^{-15}\text{s}$ 。计算得到 $D^0 \rightarrow \pi^- l^+ \nu_l$ 的分支比为

$$Br(D^0 \rightarrow \pi^- l^+ \nu_l) = 0.24\%, \quad (23)$$

粒子物理手册中实验数据^[12]为

$$Br(D^0 \rightarrow \pi^- l^+ \nu_l) = (3.6 \pm 0.6) \times 10^{-3}, \quad (24)$$

最近的实验数据^[13]给出

$$Br(D^0 \rightarrow \pi^- l^+ \nu_l) = (0.25 \pm 0.03)\%, \quad (25)$$

可见我们的计算结果基本上在新的实验范围内。

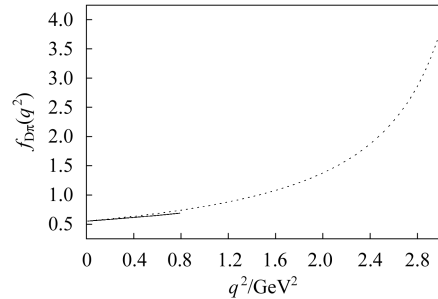


图 3 在整个运动学范围内 $D \rightarrow \pi$ 跃迁形状因子 $f_{D\pi}^+(q^2)$ 实线来自(19)式光锥 QCD 求和结果 $f_{LC}^+(q^2)$, 虚线来自(11)式双极点的结果。

5 结论

本文系统地研究了 $D^0 \rightarrow \pi^- l^+ \nu_l$ 衰变过程, 通过构造新的关联函数分别计算耦合常数 $g_{D^* D \pi}$ 和形状因子 $f_{D\pi}^+(q^2)$ 。使得计算结果中, 不出现 π 介子的 twist-3 的光锥波函数, 因为 twist-3 的光锥波函数目前还没有很好地确定, 它的存在给计算结果带来较大的误差。因此, 用我们的方法, 计算结果更加精确。最后, 计算了该衰变过程的分支比, 比粒子手册中的实验数据要小, 而与最近给出的实验数据比较接近。对 D 的半轻衰变过程, 一方面在理论上还需要进一步研究, 另一方面, 在实验上还需进行更多的数据积累。通过理论计算和实验数据的比较, 精确抽取 CKM 矩阵元, 从而就能更好的研究 CP 破坏, 检验标准模型。

参考文献(References)

- 1 Shifman M A, Vainshtein A I, Zakharov V I. Nucl. Phys., 1979, **B147**: 385
- 2 Wise M B. Phys. Lett., 1993, **B303**: 135
- 3 Georgi H. Phys. Lett., 1990, **B240**: 447
- 4 Aubin C, Bernard C, DeTar C et al. Phys. Rev. Lett., 2005, **94**: 011601
- 5 Richard Hill J. Phys. Rev., 2006, **D73**: 014012
- 6 YANG Mao-Zhi. Phys. Rev., 2006, **D73**: 034027
- 7 Khodjamirian A, Ruckl R, Weinzierl S et al. Phys. Lett., 1997, **B410**: 275
- 8 HUANG T, LI Z H. Phys. Rev., 1998, **D57**: 1993
- 9 HUANG T, LI Z H, WU X Y. Phys. Rev., 2001, **D63**: 094001-1
- 10 Khodjamirian A. Nucl. Phys., 2001, **B605**: 558
- 11 Khodjamirian A, Ruckl R, Weinzierl S et al. Phys. Rev., 2000, **D62**: 114002
- 12 Hagiward K et al. Phys. Rev., 2002, **D66**: 010001
- 13 Yongsheng G. Semileptonic D Decays from CLEO and BELLE. hep-ex/0411014

Study of $D^0 \rightarrow \pi^- l^+ \nu_l$ Decay^{*}

WU Xiang-Yao¹ LIU Xiao-Jing¹ GONG Pi-Feng² LI Qi-Lang³ SHI Zong-Hua² GUO Yi-Qing⁴

¹ (Institute of Physics, Jilin Normal University, Jilin Siping 136000, China)

² (Institute of Physics and Engineering, Qufu Normal University, Qufu 273165, China)

³ (Department of Mathematics & Physics, Institute of Architecture & Industry, Hefei 230022, China)

⁴ (Institute of High Energy Physics, Chinese Academy of Sciences, Beijing 100049, China)

Abstract In this paper, the $D^0 \rightarrow \pi^- l^+ \nu_l$ decay process is studied by applying light-cone QCD sum rules. The form factor of $D \rightarrow \pi$ transition is calculated by choosing a correlation function with a chiral current to eliminate the effect caused by the uncertainty of the twist-3 function of the pion. Therefore the calculated result of the form factor is improved, and the branching ratio of the $D^0 \rightarrow \pi^- l^+ \nu_l$ decay process is consistent with the new experimental data.

Key words light cone QCD sum rules, branching ratio, form factor, CKM matrix element